

Řešení vybraných úloh grafických algoritmů

Autor

Adam Malíř

Vedoucí práce

Mgr. Josef Horálek, Ph.D.

DELTA – Střední škola informatiky a ekonomie Pardubice,
Ke Kamenci 151, 530 03 Pardubice I
Informační technologie 18-20-M/01
2022/2023
4.A

Zadání maturitního projektu z informatických předmětů

Téma práce: Řešení vybraných úloh grafických algoritmů

Způsob zpracování, cíle práce, pokyny k obsahu a rozsahu práce:

Cílem maturitního projektu je vytvořit sadu implementací grafických algoritmů v objektově orientovaném jazyce. Autor práce podrobně popíše vybrané grafické algoritmy (zejména rasterizaci úsečky, Flood fill, seed seed a mandelbrotovu množinu). Navrhne OOP model pro implementaci vybraných algoritmů a realizuje jejich implementaci.

Anotace

Cílem a výsledkem práce je implementace některých základních algoritmů počítačové grafiky v jazce C. U některých problémů jsem navrhl vlastní postup (řádkování, generování polygonu).

Klíčová slova/keywords

line, polygon, circle, polygon-filling, SDL, polygon-intersection, rotation úsečka, polygon, kružnice, vyplňování, SDL, průnik, rotace

Prohlašuji, že jsem maturitní projekt vypracoval(a) samostatně, výhradně s použitím uvedené literatury.

Pardubicích dne 31.3.2023

.....

Obsah

1	Projekce scény	v
2	Rasterizace	v
2.1	Úsečka	v
2.2	DDA	vi
2.3	Bresenham	vi
2.4	Zrcadlení	vii
2.5	Kružnice	vii
2.6	Kruh	vii
2.7	Vyplňování	viii
2.8	Řádkovací metoda	viii
2.9	Rozbití do trojúhelníků	x
2.10	Flood fill	x
3	Analýza	xi
3.1	Bod v polygonu	xi
3.2	Konvexní/konkávní polygon	xii
3.3	Průnik tvarů	xii
3.4	Sutherland–Hodgman a Vattiho algoritmus	xii
3.5	Obsah polygonu	xiii
4	Rotace	xiv
4.1	2D	xiv
4.2	3D	xv
4.3	Posunutí středu a osy otáčení	xv
5	Generování tvarů	xvi
6	Praktická část	xvii
6.1	Syntax, ovládání, funkce	xvii
6.2	Požadavky, omezení	xviii
6.3	Struktura programu	xviii
7	Závěr	xix

Kapitola 1

Projekce scény

Projekcí scény je v této práci myšleno perspektivní vidění. Paprsek jdoucí od promítaného bodu do oka pozorovatele se promítá na určenou rovinu v prostoru, tz. tvoří průnik s touto rovinou. Výsledné 2 souřadnice jsou souřadnicemi bodu v 2D, 3. se ignoruje.

Kapitola 2

Rasterizace

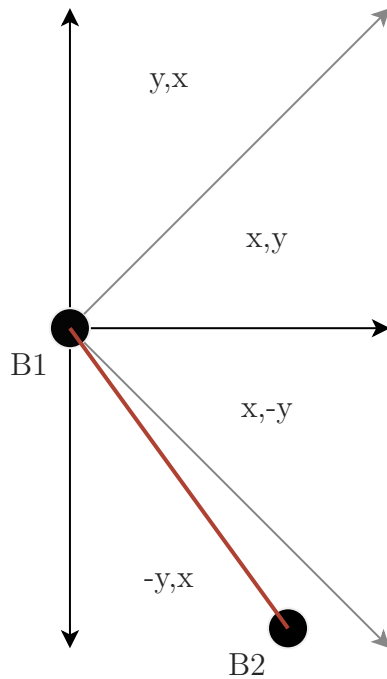
Rasterizace je proces převodu vektorově definované grafiky do tzv. rastru, tedy mřížky skládající se z bodů (pixelů). Takový rastr je základem obrazového výstupu na digitálních zařízeních. V následujících kapitolách jsou představeny algoritmy rasterizace 2 objektů: úsečky a kruhu.

2.1 Úsečka

```
1 ./MP line A:x:<int>,y:<int>B:x:<int>,y:<int>
```

Úsečka je část přímky definovaná dvěma body: b_1 a b_2 . Pro následující algoritmy platí, že souřadnice x bodu b_1 je menší než x bodu b_2 , aby se mohly algoritmy posouvat o jeden dílek doprava, tj $x + 1$. Směrnice úsečky je $a = dy/dx$. Počítá se s vstupem $a \in (-1, 1)$, takže úsečka svírá s osou x úhel $0 - 45^\circ$ a b_2 je v 1. kvadrantu. Opět pro omezení na jedinou podmínku, zda je nutné přičíst 1 k y či nikoli při přičítání 1 k x .

Tyto nároky umožňují zvolit efektivní algoritmus, ale současně vyžadují převod vstupu a výsledných souřadnic.



Obrázek 2.1: Převod souřadnic podle směrnice úsečky.

2.2 DDA

DDA využívá zaokrouhlované hodnoty $n*a$ pro výpočet y_{new} , je to prostý přístup. Současně ale zbytečně používá funkci zaokrouhlování či přetypování, kterou lze pro optimalizaci nahradit podmínkou s použitím proměnné, protože jsou pouze 2 možnosti pro y_{next} : $y_{next} = y$, nebo $y_{next} = y + 1$.

Proměnnou vyjadřuje $error(n) = ((n * a) \bmod 1) - 1/2$, kde n je krok iterace, takže $error(0) = -1/2$. Pokud platí zmíněná podmínka $error(n) \geq 0$, platí současně $y_{next} = y + 1$ a $error(n + 1) = error(n) + a - 1$, jinak platí $error(n + 1) = error(n) + a$.

2.3 Bresenham

[1] Další optimalizací je zbavení se desetinné čárky (tzv. float point number). Představme si $error(n) : 2 * dx * error(n)$. Jsou 2 možnosti:

$$error(n + 1) = error(n) + 2 * dy$$

$$error(n + 1) = error(n) + 2 * dy - 2 * dx$$

Nerovnice podmínky se nemění, protože po vynásobení pravé strany $2 * dx$: $error(n + 1) \geq 0 * 2 * dx$ zůstává stejná. Tím jsme se zbavili nutnosti použití desetinné čárky.

Algorithm 1 Bresenhamův algoritmus

```

 $x \leftarrow x_1$ 
 $y \leftarrow y_1$ 
while  $x \leq x_2$  do
  vykresli bod[x,y]
   $x \leftarrow x + 1$ 
   $error \leftarrow error + 2d_y$ 
  if  $error \geq 0$  then
     $y \leftarrow y + 1$ 
     $error \leftarrow error - 2d_x$ 
  end if
end while

```

2.4 Zrcadlení

```
1 ./MP
```

Zrcadlení je často využívaná operace, například pro rasterizaci kružnice. Využívá bod B a vektor \vec{v} , přes který B zrcadlíme. Výstupem je zrcadlený bod B_z . Platí, že vektor $\overrightarrow{BB_z}$ je kolmý na \vec{v} a jeho délka je dvojnásobná vzdálenosti B od \vec{v} .

$\frac{1}{2}\overrightarrow{BB_z} = (k * x + P_x; k * y + P_y) - (b_x; b_y)$, skalární součin tedy:
 $(k * x + P_x - b_x; k * y + P_y - b_y) * (x; y) = 0$.

Úpravou rovnice vyjde $k = -\frac{x(B_x - P_x) + y(B_y - P_y)}{x^2 + y^2}$, bod získám jako: $B_z = 2(k * \vec{v} + P) - B = [(2(k * x + P_x) - B_x; 2(k * y + P_y) - B_y)]$

2.5 Kružnice

```
1 ./MP ring S:<point> r:<int>
```

Algorithm 2 Kružnice

```
 $d \leftarrow x^2 + y^2 - r^2$   
 $x \leftarrow r$   
 $y \leftarrow 0$   
 $d \leftarrow 0$   
while  $x \geq y$  do  
  vykresli bod[x,y]  
   $y \leftarrow y + 1$   
   $d \leftarrow d + d_y$   
  if  $d \geq 0$  then  
     $x \leftarrow x - 1$   
     $d \leftarrow d - d_x$   
  end if  
end while
```

Pro kružnici rovněž existuje Bresenhamův algoritmus. Algoritmus vykreslí 1/8 kružnice. V podmínce je tedy ze znalosti přímky svírající s osou x 45 stupnu: $x \geq y$. K vykreslení této části víme, že iterativně zvětšujeme y . x dekrementujeme, pokud je hodnota d kladná, tj. zajímají nás pouze 2 pixely. Pro vykreslení celku stačí díky symetrii kružnice tuto část 3x zrcadlit. Drobná modifikace se může zakládat na výběru z 3 sousedících pixelů podle toho, který je nejbliž středem. Takové řešení je ale neefektivní, implementací se zde nezabývám.

2.6 Kruh

```
1 ./MP circle S:<point> r:<int>
```

Kruh se vykresluje tak, že se prochází body o souřadnicích od $S - r$ do $S + r$ pro x a y , jakoby byl kruh vepsán do čtverce. Bod se přidá, pokud je jeho vzdálenost od středu $\leq r$.

Algorithm 3 Kruh

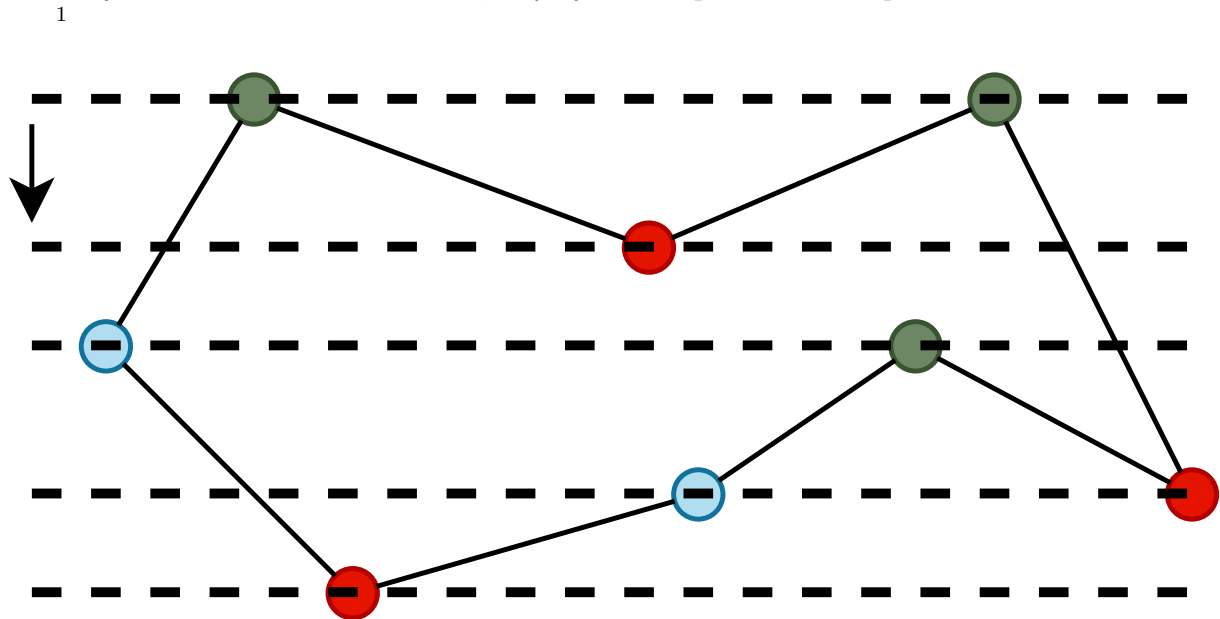
```
1:  $x \leftarrow 0$ 
2:  $y \leftarrow 0$ 
3: for  $x = -r$  to  $r$  do
4:   for  $y = -r$  to  $r$  do
5:     if  $x^2 + y^2 \leq r^2$  then
6:     vykresli bod[sx + x, sy + y]
7:     end if
8:   end for
9: end for
```

2.7 Vyplňování

2.8 Řádkovací metoda

```
1 ./MP polygon-fill point:<point>*
```

Pokud si představíme vodorovnou přímku, která protíná libovolný polygon. Pak řádkovací metoda vyplňuje $[row, x_i] - > [row, x_{i+1}] \dots [row, x_{i+2}] - > [row, x_{i+3}] \dots$ atd., kde x_i je x souřadnice i -tého bodu, když je vzestupně seřadíme podle x souřadnice.



Obrázek 2.2: Vyplňování řádkováním ze shora dolů. Červené vrcholy nejsou součástí žádné další nezpracované hrany, zelené vedou na 2 hrany k zpracování a modré vedou na právě jednu vedlejší/přiléhající nezpracovanou hranu.

¹Pokud $dx > 1$, může docházet k nespojeným oblastem (vynechaný jeden pixel na řádku).

Algorithm 4 Řádkovací metoda

```
row ← maxY(points)
points[], init[], arr_a[], lines_points[] ← []
points[] ← [points[...], points[0]]
for n_points_in_row = 0; n_points_in_row < init[i]; n_points_in_row ++ do
  for b_idx = 1; b_idx < len(init[i]); b_idx ++ do
    b_val ← converted_points[b_idx+n_points_in_row].pos
    next ← (b_val + 1) mod n_points
    prev ← (b_val == 0)?n_points - 1 : b_val - 1
    found ← false
    for b_tmp = 0; b_tmp < len(tmp); b_tmp++ do
      if b_val=tmp[b_tmp] then
        found ← true
        if y(points[b_val - 1]) < y(points[b_val]) then
          tmp[b_tmp] ← b_val - 1
          arr_a[b_tmp] ← get_dx(b_val, b_val - 1)
        else if y(points[b_val + 1]) < y(points[b_val]) then
          tmp[b_tmp] ← b_val + 1
          arr_a[b_tmp] ← get_dx(b_val, b_val + 1)
        else if y(points[b_val + 1]) == y(points[b_val]) || y(points[b_val + 1]) =
y(points[b_val]) then
          remove(tmp[b_tmp], arr_a[b_tmp], lines_points[b_tmp])
        else
          remove(tmp[b_tmp], arr_a[b_tmp], lines_points[b_tmp])
          remove(tmp[b_tmp], arr_a[b_tmp], lines_points[b_tmp])
        end if
        break
      end if
    end for
    if not found then
      insert_pos ← 0
      while points[b_val].x > lines_points[insert_pos] and insert_pos < arr_size
do
        insert_pos ← insert_pos + 1
      end while
      a1 ← get_dx(b_val, prev)
      a2 ← get_dx(b_val, next)
      tmp1 ← prev
      if a1 > a2 then
        prev ← next
        next ← tmp1
        tmp2 ← a1
        a1 ← a2
        a2 ← tmp2
      end if
      if points[prev].y ≠ points[b_val].y then
        insert(tmp, insert_pos, prev)
        insert(arr_a, insert_pos, a1)
        insert(lines_points, insert_pos, points[b_val].x)
        arr_size ← arr_size + 1
        insert_pos ← insert_pos + 1
      end if
      if points[next].y ≠ points[b_val].y then
```

2.9 Rozbití do trojúhelníků

Metoda rozbije libovolný konkávní polygon do trojúhelníků, které už stačí vyplnit úspornou metodou vyplňování trojúhelníka. Algoritmus omezuje na vstup konkávního polygonu, protože konvexní polygon vyžaduje odlišný přístup - zejména ověření úhlu, který hrany svírají (konkávní/konvexní?). Podoba algoritmu by v intencích původní myšlenky nutně zahrnovala komplexnější přístup.

Algorithm 5 Vyplňování rozbitím do trojúhelníků

```

points[] ← []
function SOLVE
  nB ← len(points)
  b_i ← 0
  C ← 0
  while nB > 3 do
    A ← C
    while !arr[(++ b_i)%len(points)]
  do
    end while
    B ← b_i
    arr[B] ← false
    while !arr[(++ b_i)%len(points)]
  do
    end while
    C ← b_i
    nB ← nB - 1
    fillTriangle(A, B, C)
  end while
  B ← C
  while !arr[(++ C)%len(points)] do
  end while
  fillTriangle(A, B, C)
end function
function GET_DX(A_idx, B_idx)
  pointA ← points[A_idx]
  pointB ← points[B_idx]
  return  $\frac{x(\text{pointB})-x(\text{pointA})}{y(\text{pointB})-y(\text{pointA})}$ 
end function

```

Algorithm 5 Vyplnění trojúhelníka

```

function FILL_TRIANGLE(A,B,C)
  P1 ← maxY(A, B, C)
  P2 ← middleY(A, B, C)
  P3 ← minY(A, B, C)
  a1 ← get_dx(P1, minX(P2, P3))
  a2 ← get_dx(P1, maxX(P2, P3))
  f ← P1
  s ← P1
  for row = P1; row > P2; row -- do
    f ← f + a1
    s ← s + a2
    x ← f
    while ++ x < s do
      ▷ přidej bod [x,row]
    end while
  end for
  if X(P2) < X(P3) then
    a1 ← get_dx(P2, P3)
  else
    a2 ← get_dx(P2, P3)
  end if
  for row > P3; row -- do
    f ← f + a1
    s ← s + a2
    x ← f
    while ++ x < s do
      ▷ přidej bod [x,row]
    end while
  end for
end function

```

2.10 Flood fill

Narozdíl od výše zmíněných algoritmů, algoritmus flood fill počítá s vstupem jednoho bodu, který je součástí oblasti, kterou vyplňujeme. Sousední body potom přidáme do fronty, pokud nejsou vyplněné nebo nemají barvu ohraničení. Postup se opakuje dokud není fronta prázdná. Vhodnější použití algoritmu je však v úpravě obrázku než vyplnění polygonů.

Algorithm 6 Flood Fill

```
procedure FLOODFILL( $x, y$ )  
   $q \leftarrow$  prázdná fronta  
   $add(q, (x, y))$   
  while  $q$  není prázdná do  
     $(a, b) \leftarrow$  první bod z  $q$   
    změň barvu bodu  $(a, b)$  na požadovanou  
    if  $(a - 1, b)$  není vyplněný a nemá barvu ohraničení then  
       $add(q, (a - 1, b))$   
    end if  
    if  $(a + 1, b)$  není vyplněný a nemá barvu ohraničení then  
       $add(q, (a + 1, b))$   
    end if  
    if  $(a, b - 1)$  není vyplněný a nemá barvu ohraničení then  
       $add(q, (a, b - 1))$   
    end if  
    if  $(a, b + 1)$  není vyplněný a nemá barvu ohraničení then  
       $add(q, (a, b + 1))$   
    end if  
  end while  
end procedure
```

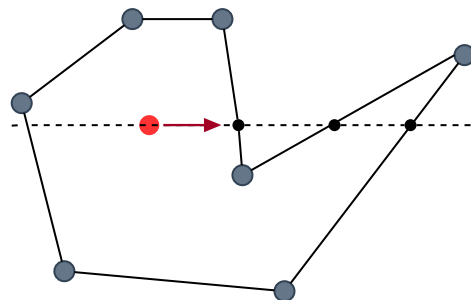
- ▷ Vstupem je výchozí bod (x, y)
- ▷ Fronta sousedních bodů k vyplnění
- ▷ Přidání výchozího bodu do fronty
- ▷ Dokud fronta není prázdná, opakuj:
 - ▷ Odebere první bod z fronty
 - ▷ Přidá sousední bod do fronty
 - ▷ Přidá sousední bod do fronty
 - ▷ Přidá sousední bod do fronty
 - ▷ Přidá sousední bod do fronty

Kapitola 3

Analýza

3.1 Bod v polygonu

Pokud je polygon otevřený, žádný bod by správně neměl ležet v polygonu. V takovém případě stačí buď ověřit, zda je polygon úplný a neprůnikuje se. V programu k tomu však prakticky nedojde. Problém je možné řešit pomocí představy .tzv winding čísla - bod leží mimo polygon, pokud je 0, pro 1 leží uvnitř, jinak neurčujeme.



Obrázek 3.1: Rozhodnout, zda se bod nachází v polygonu, můžeme touto vizualizací. Podle počtu průniků vodorovné přímky $x = B_x$ s hranami polygonu v nějakém směru. Lichý počet znamená, že leží uvnitř.

3.2 Konvexní/konkávňní polygon

```
1 ./MP polygon-convex? A:<polygon> B:<polygon>
```

Algorithm 7 Určení konvexnosti polygonu

```


$p \leftarrow \text{minX}(\dots \text{points}) \triangleright p$  je index bodu v  $\text{points}[]$



if  $Y(p + 1) > Y(p - 1)$  then



$p\_u \leftarrow 1$



else



$p\_u \leftarrow -1$



end if



$k \leftarrow p + p\_u$



while  $x(\text{points}[k + p\_u]) > x(k)$  do



if  $\text{is\_above}(\text{line}(k - p\_u, k), \text{point}(k + p\_u))$  then



return 0



end if



end while



while  $x(\text{points}[k + p\_u]) < x(k)$  do



if  $\text{!is\_above}(\text{line}(k - p\_u, k), \text{point}(k + p\_u))$  then



return 0



end if



end while



if  $k = p$  then



return 1



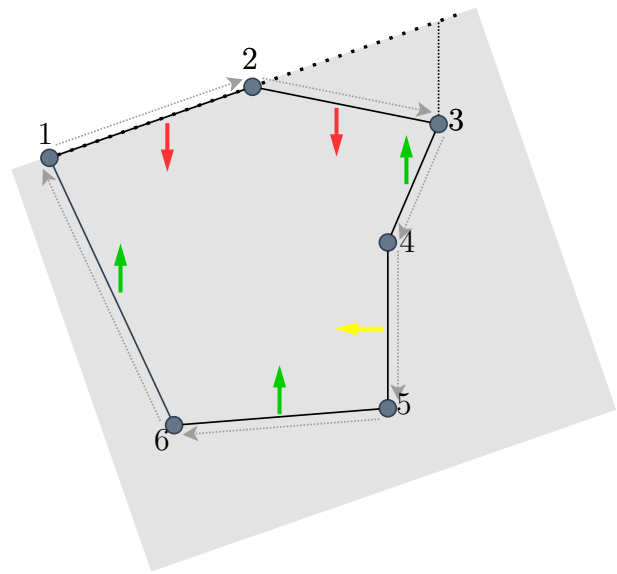
end if



return 0


```

Konvexnost se nedá určit pouze z matematického výpočtu úhlů mezi každou dvojicí sousedících hran a ověřením, zda jsou všechny $< 180^\circ$, protože výpočet nezohledňuje podobu celého polygonu čili výstupem výpočtu může být vnější úhel.



Obrázek 3.2: Identifikace konvexního/konkávňního polygonu

3.3 Průnik tvarů

Pro jasnost uvádím, že polygon A je polygon, který průnikuje polygon B. Výsledný průnik (polygon) označuju C.

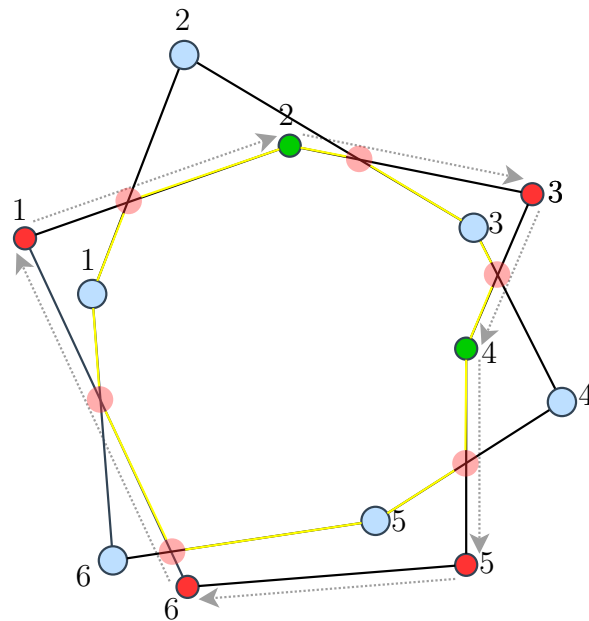
3.4 Sutherland–Hodgman a Vattiho algoritmus

```
1 ./MP polygon-shutherland-hodgman A:<polygon> B:<polygon>
```

```
1 ./MP polygon-vatti A:<polygon> B:<polygon>
```

Pokud pomyslně prodloužíme hrany A, můžeme dělit strany této hrany na stranu, kde se nachází zbytek A a tedy i na stranu, v které se nenachází ani jeden vrchol A. Jakýkoli bod na druhé straně polygonu není určitě uvnitř A, takže ho nepoužijeme pro C. Pokud je tomu naopak, bod necháme. Postup se totiž opakuje pro každou další stranu A, tz. že na konci zbydou pouze body (vrcholy B), které uvnitř A leží. Mezi body se

navíc při procházení zjišťuje, jestli průnikují B, v takovém případě se přidává navíc i bod jako průsečík hran. Algoritmus je omezen pouze na konvexní A. V opačném případě nemusí fungovat koncept (nebo by nutně vyžadoval zbytečně náročnou modifikaci), protože bychom mohli vyloučit body, které jinak v polygonu leží. Současně B je nutně konvexní. V opačném případě může dojít k překrytí (tz. overlapping) hran C - v tomto případě by vzniklo výsledků víc jako víc polygonů/samostatných průnikových oblastí. Problém řeší Vattiho algoritmus, který zaznamenává body při vstupu B do A končí při výstupu B z A. Potom přidá body na A mezi I_{vstup} a $I_{výstup}$ ve směru procházení, kterým procházíme vrcholy B. Pokud žádný vrchol nepřidáme, ověříme, pokud nějaký bod B leží uvnitř A či nikoli, tedy jestli A leží uvnitř B.

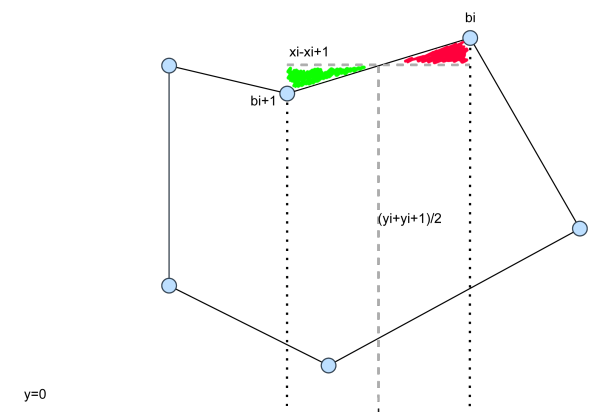


Obrázek 3.3: Shutherland-hodgman algoritmus

3.5 Obsah polygonu

```
1 ./MP polygon-S? A:<polygon> B:<polygon>
```

Obsah polygonu je $S = \left| \sum_{i=1}^n (x_i - x_{i+1}) \frac{y_i + y_{i+1}}{2} \right|$. Pokud se prohodí x_i s x_{i+1} , prochází se defacto opačným směrem, takže výsledek je taky opačný, proto je třeba absolutní hodnoty.

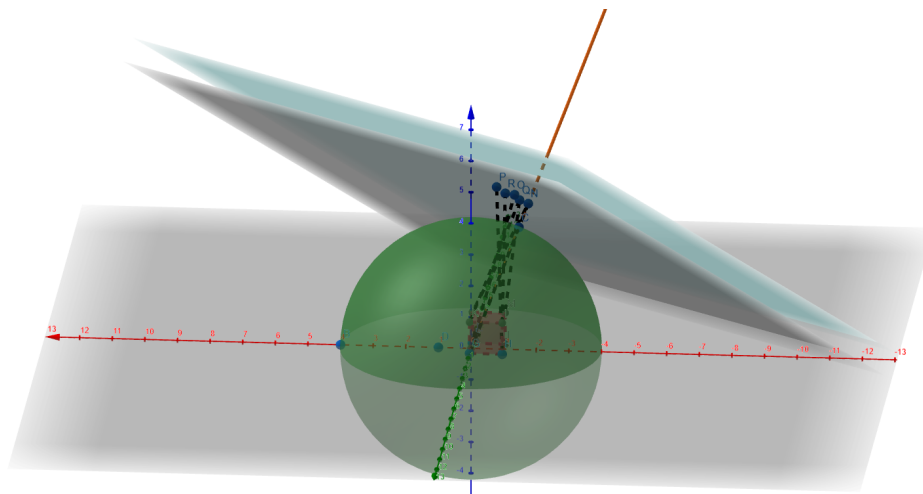


Obrázek 3.4: Vizualizace vzorce obsahu polygonu.

Kapitola 4

Rotace

```
1 ./MP cube-example
```



Obrázek 4.1: 3D rotace a projekce funguje v programu jako na obrázku. Pozorovatel (ohnisko) se pohybuje na sféře (převod souřadnic z jedné báze do druhé a rotace) a současně se dívá do středu souřadnic. 2D souřadnice se promítají na rovinu kolmou k spojnici střed-pozorovatel, která je posunuta dál od středu.

Otáčet bod vůči středu soustavy souřadné je jako nanášet ho na otočenou soustavu souřadnou, tedy násobit vektory udávající osy x , y , atd. takové soustavy. Tyto vektory mají délku 1. Lze zapsat takto:

$$p_n = \begin{pmatrix} X_1 & Y_1 \\ X_2 & Y_2 \end{pmatrix} \vec{p}$$

4.1 2D

Otočené souřadnice můžeme vyjádřit takto:

$$X_1 = \cos(-\alpha) = \cos(\alpha)$$

$$X_2 = \sin(2\pi - \alpha) = -\sin(\alpha)$$

$$\begin{aligned}
Y_1 &= \cos(\pi/2 - \alpha) = \sin(\alpha) \\
Y_2 &= \sin(\pi/2 - \alpha) = \cos(-\alpha) = \cos(\alpha) \\
&\begin{pmatrix} \cos(\alpha) & \sin(\alpha) \\ -\sin(\alpha) & \cos(\alpha) \end{pmatrix} \begin{pmatrix} x \\ y \end{pmatrix}
\end{aligned}$$

4.2 3D

Rotace bodu vůči ose Z ve směru hodinových ručiček:

$$\begin{pmatrix} \cos(\alpha) & \sin(\alpha) & 0 \\ -\sin(\alpha) & \cos(\alpha) & 0 \\ 0 & 0 & 1 \end{pmatrix} \begin{pmatrix} x \\ y \\ z \end{pmatrix}$$

Rotace bodu vůči zvolené ose:[3]

Máme vstup osu o a úhel α .

Mějme 2 soustavy souřadné A a B popsané jednotkovými vektory. Přitom A je naše výchozí, na které vykreslujeme:

$$\begin{pmatrix} 1 & 0 & 0 \\ 0 & 1 & 0 \\ 0 & 0 & 1 \end{pmatrix}$$

Matice B má tvar:

$$\begin{pmatrix} a_x & b_x & o_x \\ a_y & b_y & o_y \\ a_z & b_z & o_z \end{pmatrix}$$

3. řádek B tvoří souřadnice osy o , takže 3. souřadnice p_b je právě vzhledem k o .

Čili je z následující rovnice zaručeno, že získáme přesně takový bod p_b , kde jeho 3. souřadnice je vzhledem k o . To potřebujeme, protože jsme zvolili matici rotace podle osy Z (respektive 3. osy...), kterou chceme bod násobit. Takže tato souřadnice bodu v B po rotaci bude stejná.

Z rovnice $p_a = p_b B$ vyjádříme tedy p_b vynásobením B^{-1} : $p_b = p_a B^{-1}$

Zbývající vektory a a b v B musí být jednotkové a vzájemně kolmé. takový a dostaneme třeba ignorováním z a přehozením souřadnic následovně: $\vec{a} = \{-y, x, 0\}$, kde x a y jsou souřadnice o . b je už jen vektorovým součinem a a b .

To je tedy převod relativních souřadnic ze soustavy A do soustavy B .

Rotace probíhá následovně:

Vstup: osa otáčení o , úhel α

- 1 převedeme souřadnice z A do B
- 2 zrotujeme (například přes matici 1.1, tj. vůči 3. ose)
- 3 vykreslujeme v A , takže převedeme z B do A

4.3 Posunutí středu a osy otáčení

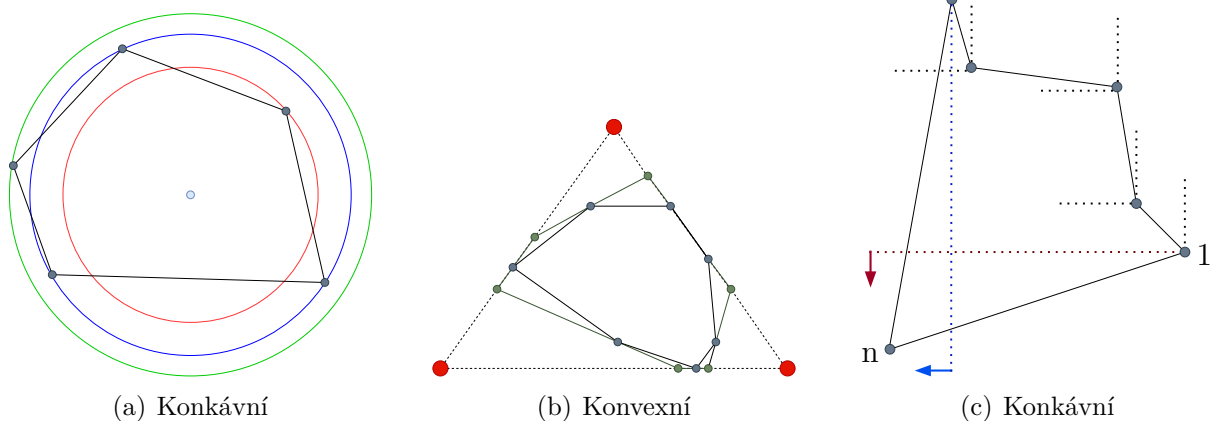
Pro posunutý střed v 2D platí, že vektor $\vec{X}S$, kde S je střed a X bod, má fakticky souřadnice bodu \vec{p} . K výpočtu stačí potom přičíst S .

Stejně u posunuté osy v 3D, je takový vektor vlastně bod $p_a - S$. V praxi, grafickém editoru, určujeme osu typicky dvěma body. Právě jeden z nich (třeba pro intuici první určený) je totiž tento střed S . Nakonec stačí opět přičíst S .

Kapitola 5

Generování tvarů

```
1 ./MP polygon|polygon-fill polygon-rnd:n:<int>
```



Obrázek 5.1: Metody generování polygonu

Generování náhodných polygonů není to samé co pouhé generování náhodných bodů - strany se mohou protínat či svírat úhel 180 stupňů, což bývá v praxi nežádoucí. Metoda (a) je generování bodů na kružnici a následně výběr náhodné pozice na pomyslné úsečce střed-bod. První a poslední bod na kružnici zúžuje úhlový rozsah, v kterém další bod generujeme. Posledním bodem se pak stává generovaný bod a situace se opakuje. Hrany se nemohou protnout, protože se vždy nová hrana nachází celá ve zmíněné oblasti, kde žádný jiný bod neleží. Metoda může generovat konkávní polygony. Metoda (b) generuje na postupně procházených hranách trojúhelníku 1-2 náhodných bodů, v případné další iterace algoritmu se generuje nad výsledným tvarem atd. Následující iterací se dá generovat až dvojnásobný počet vrcholů tvaru z předchozí iterace. Výsledkem je konvexní polygon. Metoda (c) iterativně generuje body v určeném kvadrantu kartézských souřadnic, kde středem se následně stává generovaný bod. Díky tomu má generovaný bod ze všech nejmenší x souřadnici. První bod má nejmenší y . Pro spojení prvního a posledního bodu se určí bod $[x, y]$, kde $x < \min X$ a $y < \min Y$.

Metoda (a):

- 1 generuj n náhodných úhlů
- 2 seřaď tyto úhly
- 3 konečnou pozici bodu urči jako $random_cislo * B - S$

Kapitola 6

Praktická část

Výstupem programu je okno a text v terminálu, v kterém program běží. Program je psán v jazyce C, tedy je před spuštěním kompilován následovně.

```
1 git clone https://github.com/malirl/MP.git && cd resources/  
   program; sudo make MP
```

6.1 Syntax, ovládání, funkce

Program běží ve dvou módech - první příkazový (PM), druhý vývojářský (VM). Rozdíl mezi nimi je však jen v datech, které zpracovává. Pro uvedení programu do PM je následující syntax:

```
1 ./MP nazev_obejktu parametr:hodnota parametr:hodnota ...
```

Pro uvedení programu do VM stačí čistě spustit:

```
1 ./MP
```

PM zpracovává jeden objekt/problém z příkazu, avšak VM jen volá soubor `devtest.c`, zdrojový kód, v kterém je možné nastavit příslušné vstupy a volat příslušné funkce.

¹

- Parametrem může být objekt, jehož `parametr:hodnota` jsou odděleny čárkami.
- Pořadí parametrů může být libovolné.
- Nadbytečné parametry program ignoruje.
- Nevalidní vstup program vyrozumí a skončí.
- Posouvání šipkami, zoom kolečkem myši/touchpadem.

¹.

- Speciální objekt `example` slouží stejně jako VM, ale vstup podobjektů nastavuje přes pomocné funkce. Nakonec libovolný výstup podobjektů zabaluje do vlastního čili výstupu jednoho objektu.

6.2 Požadavky, omezení

Pro úspěšnou kompilaci je nutná instalace překladače `gcc` a multimediální knihovny `SDL2` na Linuxu (X-window system/Wayland). Jiné platformy nebyly testovány (stačí pouze přepsat `Makefile`).

6.3 Struktura programu

`SDL2` řeší v programu pouze vytvoření okna, vykreslení bodů na něm a zachytávání uživatelského vstupu.[2] Zpracování regulárních výrazů řeší knihovna (modul) `tiny-regex`.

Klíčové vlastnosti

- Projekt se skládá z kontroleru, který validuje typ vstupu, nastavuje scénu, volá jednotlivá řešení v podsložkách jako `/polygon` ap.
- Dílčí řešení zapisuje do objektu body nebo podobjekty pro vykreslení. V případě, že je objekt součástí řešení a nevykresluje se, zapisuje do výstupu skládajícího se z dalších možných výstupů.
- Správně nastavený vstup objektu pro vykreslení je v syntaxi PM prostého/úplného tvaru vypsán před zpracováním.
- Vstup je předán `main.c` v podsložce dané úlohy, kde je případně upraven pro účely daného algoritmu.

Kapitola 7

Závěr

Literatura

- [1] Tom Carter. The bresenham line algorithm, computer science csu stanislaus. 2014.
- [2] Benedict HENSHAW. Intro to software rendering with sdl2. 2023.
- [3] Rostislav HORCIK. Výpočet matice rotace, <http://uivty.cs.cas.sz>. 2009.